

01; 10

© 1993

## ВРЕМЯПРОЛЕТНАЯ ФОКУСИРОВКА В ДВУМЕРНОМ ЭЛЕКТРОСТАТИЧЕСКОМ ПОЛЕ С ПЛОСКОСТЬЮ СИММЕТРИИ

Л.Г. Гликман, Ю.В. Голоскоков  
С.П. Карецкая

Здесь приводятся основные результаты, полученные нами при исследовании времяпролетной фокусировки заряженных частиц в электростатическом двумерном поле с плоскостью симметрии. Использовалась декартова система координат  $X, Y, Z$ . Плоскость  $Z = 0$  совмещалась с плоскостью симметрии поля (средней плоскостью), потенциал  $\varphi = \varphi(X, Z)$ . Вводилась также криволинейная ортогональная система координат  $x, y, s$  ось  $s$  которой направлялась по осевой траектории пучка, лежащей в средней плоскости. Ось  $x$  располагалась в этой же плоскости, ось  $y$  — перпендикулярно к ней (рис. 1).

В рассматриваемом поле время пролета  $t(s)$  произвольной частицы и ее координата  $x(s)$  связаны между собой соотношением

$$t - t_0 = \frac{1}{B} (x \cos \vartheta - x_0 \cos \vartheta_0 + Y - Y_0), \quad (1)$$

$B$  — постоянная, равная составляющей скорости частицы в направлении оси  $Y$ ;  $\vartheta$  — угол между осью  $X$  и касательной к осевой траектории в текущей точке. Он считается положительным при отсчете от оси  $X$  против часовой стрелки.  $Y = Y(s)$  — координата осевой траектории. Индексом „0” отмечаются значения переменных в предметной плоскости.

Как обычно, вводилось понятие основной частицы. Предполагалось, что она движется по осевой траектории, покидает предметную плоскость в момент времени  $t_0 = 0$ , имеет массу  $m$  и начальную скорость  $v_0 = \sqrt{-\frac{2e\varphi_0}{m}}$ , где  $\varphi_0$  — потенциал предметного пространства. Произвольная частица в пучке имеет массу  $m^* = m(1 + \gamma)$ , начальную скорость  $v_0^* = \sqrt{-\frac{2e\varphi_0(1 + \epsilon)}{m^*}}$ , начальные линейные и угловые координаты  $x_0, y_0, x'_0, y'_0$  (штрихами обозначается дифференцирование по  $s$ ). Из (1) следует, что существуют простые связи между коэффициентами разложений  $x(s)$  и  $t(s)$  в ряды по малым параметрам  $x_0, x'_0, y_0, y'_0, \epsilon$  и  $\gamma$ . Были выполнены необходимые преобразования, удержаны члены второго порядка малости и установлены соотношения между коэффициентами разложений:

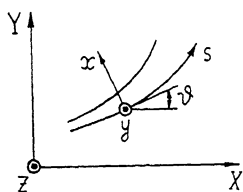


Рис. 1.

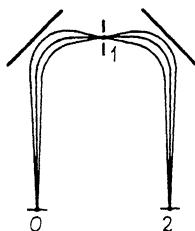


Рис. 2.

$$\begin{aligned}
 t - t_0 = T(1 + T_x x'_0 + T_x x_0 + T_\varepsilon \varepsilon + T_y y' + T_{\alpha\alpha} x_0'^2 + T_{\alpha x} x_0' x_0 + \\
 + T_{\alpha\varepsilon} x_0' \varepsilon + T_{x\varepsilon} x_0 \varepsilon + T_{\varepsilon\varepsilon} \varepsilon^2 + T_{\beta\beta} y_0'^2 + T_{\beta y} y_0' y_0 + T_{\gamma y} y_0^2 + \\
 + T_{\alpha y} x_0' y' + T_{x y} x_0 y' + T_{\varepsilon y} \varepsilon y' + T_{y y} y'^2), \quad (2)
 \end{aligned}$$

$$\begin{aligned}
 x = K_\alpha x_0' + K_x x_0 + K_\varepsilon \varepsilon + K_{\alpha\alpha} x_0'^2 + K_{\alpha x} x_0' x_0 + K_{\alpha\varepsilon} x_0' \varepsilon + \\
 + K_{x\varepsilon} x_0 \varepsilon + K_{\varepsilon\varepsilon} \varepsilon^2 + K_{\beta\beta} y_0'^2 + K_{\beta y} y_0' y_0 + K_{\gamma y} y_0^2, \quad (3)
 \end{aligned}$$

где коэффициенты являются функциями от  $S$ . В двумерном поле  $T_{xx}$  и  $K_{xx}$  всегда равны нулю. Время пролета основной частицы от начальной до текущей точки

$$T = \frac{Y - Y_0}{v_0 \sin \vartheta_0}. \quad (4)$$

В [1, 2] сформулированы требования к времяпролетному масс-анализатору с высокой разрешающей способностью и высокой трансмиссией: в плоскости входного окна детектора должны быть равны нулю по меньшей мере коэффициенты  $T_x$ ,  $T_\alpha$ ,  $T_\varepsilon$ ,  $K_\alpha$ ,  $K_\varepsilon$  и  $M_\beta$ , где  $M_\beta$  — коэффициент в разложении

$$y = M_\beta y_0' + M_\gamma y_0 + \dots$$

Приняв такую постановку задачи, мы потребовали сначала, чтобы в пространстве изображений существовало действительное стигматическое изображение действительного предмета (в плоскости изображений  $S = S_f$ ,  $K_\alpha = 0$ ,  $M_\beta = 0$ ). В двумерном поле это условие может быть выполнено только для зеркала или преломляю-

шей системы с зеркалом. Ограничимся здесь случаем зеркала. Тогда в пространстве изображений  $\varphi = \varphi_0$ ,  $v^y = \pi - v_0^y$ ,  $K_x = -1$ ,  $K_{\alpha x} = 0$ ,  $K_{x\varepsilon} = 0$ ;  $K_\varepsilon$ ,  $K_{\alpha\alpha}$ ,  $K_{\alpha\varepsilon}$  и  $K_{\varepsilon\varepsilon}$  не зависят от положений предметной плоскости и плоскости изображений. Коэффициенты разложения (2) в гауссовой плоскости  $S = S_1$  определяются следующими простыми соотношениями

$$T = -\frac{2K_\varepsilon \operatorname{ctg} v_0^y}{v_0^y}, \quad T_\alpha = -\operatorname{ctg} v_0^y, \quad T_x = 0,$$

$$T_\varepsilon = \frac{1}{2}(\operatorname{ctg}^2 v_0^y - 1), \quad T_y = \frac{1}{2}, \quad T_{\alpha\alpha} = \frac{1}{2} + \operatorname{ctg}^2 v_0^y \left(1 + \frac{K_{\alpha\alpha}}{2K_\varepsilon}\right),$$

$$T_{\alpha x} = 0, \quad T_{x\varepsilon} = 0, \quad T_{\alpha\varepsilon} = -(T_\varepsilon + T_{\alpha\alpha}) \operatorname{ctg} v_0^y,$$

$$T_{\varepsilon\varepsilon} = \frac{1}{4} \left[ T_\varepsilon (\operatorname{ctg}^2 v_0^y - 3) + T_{\alpha\alpha} \operatorname{ctg}^2 v_0^y \right],$$

$$T_{\beta\beta} = \frac{1}{2} \left( 1 + \frac{K_{\beta\beta} \operatorname{ctg}^2 v_0^y}{K_\varepsilon} \right), \quad T_{\beta y} = \frac{K_{\beta y} \operatorname{ctg}^2 v_0^y}{2K_\varepsilon},$$

$$T_{yy} = \frac{K_{yy} \operatorname{ctg}^2 v_0^y}{2K_\varepsilon}, \quad T_{\alpha y} = \frac{T_\alpha}{2}, \quad T_{xy} = 0,$$

$$T_{\varepsilon y} = \frac{T_\varepsilon}{2}, \quad T_{yy} = -\frac{1}{8}.$$

Следовательно, в зеркале с двумерным полем в гауссовой плоскости  $T_\varepsilon = 0$  только при  $v_0^y = 45^\circ$ , а  $T_\alpha$  ни при каком угле падения нулем быть не может. Время пролета не зависит от  $x_0$  ( $T_x = 0$ ,  $T_{\alpha x} = 0$ ,  $T_{x\varepsilon} = 0$ ,  $T_{xy} = 0$ ). Все коэффициенты, кроме  $T_{\beta\beta}$ ,  $T_{\beta y}$  и  $T_{yy}$ , не зависят от положений предметной плоскости и плоскости изображений. При обращении в нуль  $T_\varepsilon$  и  $T_{\varepsilon\varepsilon}$  равными нулю становятся и  $T_{\alpha\alpha}$ ,  $T_{\alpha\varepsilon}$ ,  $T_{\varepsilon y}$ .

Далее было показано, что устранить большую часть времяпролетных аберраций можно в системе, схематически изображенной на рис. 2. Она состоит из двух одинаковых зеркал с двумерным полем и  $v_0^y = 45^\circ$ , на рисунке показаны только их эффективные плоскости отражения. Зеркала расположены симметрично относительно плоскости  $S = S_1$ , проходящей через точку 1. Предметная плоскость системы проходит через точку 0, плоскость изображений  $S = S_2$  — через точку 2. В плоскости  $S = S_1$  формируется промежуточное стигматичное изображение. Для такой системы зеркал в плоскости изображений всегда равны нулю  $T_\alpha$ ,  $T_x$ ,  $T_\varepsilon$ ,  $T_{\alpha x}$ ,  $T_{x\varepsilon}$ ,  $T_{\alpha y}$ ,  $T_{xy}$  и  $T_{\varepsilon y}$ . Если распределение поля в зеркалах подобрано так, что в каждом из них  $K_{\alpha\alpha} = -3K_\varepsilon$ , и во втором зеркале  $K_{\beta\beta} = -K_\varepsilon$ , то равны нулю также  $T_{\alpha\alpha}$ ,  $T_{\varepsilon\varepsilon}$ ,  $T_{\beta\beta}$  и  $T_{\beta y}$ . Тогда время пролета произвольной частицы до  $S = S_2$  определя-

ется формулой

$$t_2 - t_0 = 2T(1 + T_x x + T_{yy} y_0^2 + T_{yy} y^2),$$

где

$$T = -\frac{2K\varepsilon}{v_0}, \quad T_x = \frac{1}{2}, \quad T_{yy} = \frac{K_{yy}}{2M_y^2 K\varepsilon}, \quad T_{yy} = -\frac{1}{8},$$

$K_{yy}$  и  $M_y$  относятся ко второму зеркалу.

Вместе с тем в плоскости  $S = S_2$  обеспечивается стигматичная фокусировка, и в  $x$ -направлении отсутствуют сферическая и многие другие виды аберраций второго порядка.

Обратим внимание, что рассмотренная система зеркал позволяет следующее:

1. С помощью регулируемой диафрагмы в плоскости  $S = S_1$  ограничивать разброс ионов по энергии, если первоначально он слишком велик.
2. С помощью той же диафрагмы проводить энерго-масс-анализ, регистрируя в плоскости  $S = S_2$  спектр масс с выбранной энергией.
3. Понижать начальную энергию ионов, увеличивая тем самым время пролета и разрешающую способность. Этому способствуют два обстоятельства. При  $v_0^0 = 45^\circ$  энергия ионов остается достаточно большой в точке поворота. Хорошее качество фокусировки позволяет работать при больших энергетическом и угловом разбросах, сопровождающих понижение ускоряющего потенциала в источнике.

#### С п и с о к л и т е р а т у р ы

- [1] M a t s u o T., S a k u r a j T., M a t s u d a H. // Nucl. Instr. Meth. 1987. V. A258. N 3. P. 327-330.
- [2] W o l l n i k H. // Nucl. Instr. Meth. 1990. V. A298. N 1-3. P. 156-160.

Институт ядерной физики  
АН Республики Казахстан

Поступило в Редакцию  
11 марта 1993 г.